



DOI:10.3872/j.issn.1007-385x.2018.06.007

·基础研究·

## 人参皂苷 Rg3 通过 PI3K/AKT 信号系统调控 *CaM* 基因表达促进胃癌 BGC-823 细胞的凋亡

石燕燕, 李树才, 孙军(锦州市中心医院 消化内科, 辽宁锦州 121001)

**[摘要]** 目的: 探讨人参皂苷 Rg3 通过 PI3K/AKT 信号通路干扰 *CaM* 基因的表达及对胃癌 BGC-823 细胞凋亡的影响。方法: 胃癌 BGC-823 细胞的培养与传代完成后, Western blotting 检测胰岛素样生长因子-1 (insulin-like growth factor-1, IGF-1) 和/或 Rg3 分别作用胃癌 BGC-823 细胞后 p-AKT 和 CaM 蛋白表达水平, MTT 法检测 IGF-1 和/或 Rg3 对胃癌 BGC-823 细胞增殖的影响, Transwell 法检测 IGF-1 和/或 Rg3 对胃癌 BGC-823 细胞侵袭的影响, 流式细胞术检测 IGF-1 和/或 Rg3 对胃癌 BGC-823 细胞凋亡的影响。结果: 随着 IGF-1 作用时间延长, 胃癌 BGC-823 细胞中 p-AKT 蛋白和 CaM 蛋白的表达水平均明显提高(均  $P < 0.05$ ); 与空白对照组比较, Rg3 组明显抑制胃癌 BGC-823 细胞增殖, 而 IGF-1 组和 IGF-1+Rg3 组明显促进胃癌 BGC-823 细胞增殖(均  $P < 0.05$ ); 与空白对照组比较, Rg3 组明显降低胃癌 BGC-823 细胞侵袭, 而 IGF-1 组和 IGF-1+Rg3 组明显促进胃癌 BGC-823 细胞侵袭能力(均  $P < 0.05$ ); 流式细胞术检测显示, 与空白对照组比较, Rg3 组明显促进胃癌 BGC-823 细胞凋亡, 而 IGF-1 组和 IGF-1+Rg3 组明显抑制胃癌 BGC-823 细胞凋亡(均  $P < 0.05$ )。结论: 人参皂苷 Rg3 通过阻断 PI3K/AKT 信号通路来抑制 *CaM* 的表达, 进而促进胃癌 BGC-823 细胞的凋亡。

[关键词] 人参皂苷 Rg3; 钙调蛋白; *CaM* 基因; 胃癌; BGC-823 细胞; 凋亡

[中图分类号] R735.2; R392.1 [文献标识码] A [文章编号] 1007-385X(2018)06-0590-05

## Ginsenoside Rg3 regulates *CaM* gene expression through PI3K/AKT signal system to promote apoptosis of gastric cancer BGC-823 cell

SHI Yanyan, LI Shucui, SUN Jun (Central Hospital of Jinzhou City, Jinzhou 121001, Liaoning, China)

**[Abstract]** Objective: To investigate Ginsenoside Rg3 interfering the expression of *CaM* through PI3K/AKT signaling pathway to affect the biological activity of gastric cancer BGC-823 cells. Methods: After the culture and passage of gastric cancer BGC-823 cells, Western blotting was used to detect the expression of p-AKT and *CaM* protein in gastric cancer BGC-823 cells treated with IGF-1 and/or Rg3; The effect of IGF-1 and/or Rg3 on the proliferation of BGC-823 cells was detected by MTT assay; The effect of IGF-1 and/or Rg3 on the invasion of BGC-823 cells was detected by Transwell assay; Effect of IGF-1 and/or Rg3 on apoptosis of BGC-823 cells was detected by Flow Cytometry. Results: Western blotting results showed that the expression of p-AKT and *CaM* protein increased in BGC-823 cells with the prolongation of IGF-1 treatment (all  $P < 0.05$ ); Compared with the blank control group, Rg3 significantly inhibited the proliferation of BGC-823 cells, while IGF-1 and IGF-1+Rg3 significantly promoted the cell proliferation (all  $P < 0.05$ ); Compared with the blank control group, Rg3 significantly reduced the invasion of BGC-823 cells, while IGF-1 and IGF-1+Rg3 significantly promoted the invasion of BGC-823 cells (all  $P < 0.05$ ); Flow cytometry showed that compared with the blank control group, Rg3 significantly promoted the apoptosis of BGC-823 cells, while IGF-1 and IGF-1+Rg3 significantly inhibited the apoptosis of BGC-823 cells (all  $P < 0.05$ ). Conclusion: Ginsenoside Rg3 inhibits the expression of *CaM* by blocking PI3K/AKT signaling pathway, thereby promoting the apoptosis of gastric cancer BGC-823 cells.

[Key words] ginsenoside Rg3; calmodulin; *CaM* gene; gastric cancer; BGC-823 cell; apoptosis

[Chin J Cancer Bioter, 2018, 25(6): 590-594. DOI:10.3872/j.issn.1007-385X.2018.06.007]

[基金项目] 辽宁省自然科学基金项目(No. 2016010330-301)。Project supported by the Natural Science Foundation of Liaoning Province (No. 2016010330-301)

[作者简介] 石燕燕(1978-), 女, 硕士, 主治医师, 主要从事肿瘤生物治疗的研究, E-mail: canghaiguanri@126.com



PI3K/AKT 信号通路在肿瘤细胞生物学功能的调节过程中起到十分重要的作用<sup>[1-2]</sup>。AKT 又称为蛋白激酶 B(protein kinase B, PKB), 是一种丝氨酸/苏氨酸蛋白激酶, 其作为 PI3K 的下游靶蛋白, 在 PI3K/AKT 信号通路的转导过程中发挥着核心作用<sup>[3-4]</sup>。钙调蛋白(calmodulin, CaM)是一种广泛存在于生物体的  $\text{Ca}^{2+}$ 结合蛋白。研究<sup>[5-6]</sup>发现,  $\text{Ca}^{2+}/\text{CaM}$ 信号通路活性的改变可以明显影响肿瘤细胞的生长方式。在许多细胞中 CaM 的表达与 PI3K/AKT 信号通路具有很好的相关性, 且在基因水平上 *CaM* 也与 *AKT* mRNA 表达水平相关<sup>[7]</sup>。因此, PI3K/AKT 信号通路在调控肿瘤细胞内 CaM 的表达过程中上起了十分重要的作用。人参皂苷 Rg3 是存在于中药人参中的西环三萜皂苷, 其结构式为 C42H72O13。研究<sup>[8]</sup>证实, 人参皂苷 Rg3 可以通过抑制肿瘤血管生成、诱导肿瘤细胞凋亡、抗肿瘤转移、增强患者免疫功能等方面来抑制肿瘤的生长。有研究<sup>[9]</sup>报道, 人参皂苷 Rg3 对多种肿瘤细胞及其表达的 *VEGF*、*bFGF*、*MMPs*、*EphA2* 等基因都具有明显的抑制作用, 进而抑制肿瘤细胞新生血管的形成, 从而促进肿瘤细胞的凋亡。同时还有研究<sup>[10]</sup>表明, 人参皂苷 Rg3 可以通过影响 PI3K/AKT 信号通路的表达来抑制多种肿瘤细胞的生长。近年来有研究<sup>[11]</sup>已经证实, 人参皂苷 Rg3 可以通过抑制 CaM 的表达来促进胃癌 BGC-823 细胞的凋亡, 但其具体机制不详。因此, 本研究将进一步研究人参皂苷 Rg3 是否是通过抑制 PI3K/AKT 信号通路的活性来降低 *CaM* 基因的表达, 进而实现促进胃癌 BGC-823 细胞凋亡的作用。

## 1 材料与方法

### 1.1 细胞与主要试剂

人胃癌 BGC-823 细胞(中国科学院上海生命科学研究院生物化学与细胞生物学研究所)。二甲基亚砜(DMEM)、RPMI1640、胎牛血清、胰酶(Sigma 公司), 青霉素、链霉素(大连美罗制药厂), 四甲基偶氮唑蓝(MTT)(Biosharp 公司), Annexin V-FITC/PI 凋亡检测试剂盒(欣博盛生物科技有限公司), 鼠抗人 CaM 单克隆抗体、鼠抗人 AKT 单克隆抗体及山羊抗鼠 IgG(中杉金桥公司), 胰岛素样生长因子-1 (insulin-like growth factor-1, IGF-1)(Copoeia 公司)

### 1.2 胃癌 BGC-823 细胞的培养与传代

人胃癌 BGC-823 用含 10% 胎牛血清、100 U/ml 青霉素、100  $\mu\text{g}/\text{ml}$  链霉素的 Leibovitz's L-15 培养基, 在 5%  $\text{CO}_2$ 、37 °C 饱和湿度的恒温培养箱中培养。待细胞汇合至 80%~90% 时, 用 0.25% 胰蛋白酶消化 1~2 min, 倒置显微镜下观察细胞形态。当细胞质回

缩、细胞间隙变大、细胞有变圆趋势时, 反复吹打贴壁细胞, 使细胞脱离瓶壁充分分散, 传到新培养瓶中, 继续培养。实验分组: 空白对照组、Rg3(20  $\mu\text{g}/\text{ml}$ ) 组、IGF-1(25 ng/ml) 组和 Rg3+IGF-1 组。增殖抑制率(%)=(对照组 *D* 值-实验组 *D* 值)/(对照组 *D* 值-空白组 *D* 值)×100%。

### 1.3 MTT 法检测胃癌 BGC-823 细胞的增殖率

取对数期生长的人胃癌 BGC-823 细胞, 0.25% 胰蛋白酶消化, 在培养液中制成单细胞悬液, 调整细胞密度至  $5\times 10^4/\text{ml}$ 。将细胞悬液接种于 96 孔板每孔 200  $\mu\text{l}$ , 37 °C、5%  $\text{CO}_2$  条件下培养。每组设 4 个平行孔, 每孔体积为 200  $\mu\text{l}$ 。按上述分组药物作用 48 h 后, 每孔加入浓度为 5 mg/ml MTT 20  $\mu\text{l}$ , 相同培养条件下继续培养 4 h。吸去培养液, 每孔加入 150  $\mu\text{l}$  DMSO, 避光, 恒温振荡器上振 10 min, 孵育 20 min。放入酶标仪, 以 490 nm 波长检测光密度(*D*)值。实验重复 3 次。

### 1.4 流式细胞术检测肿瘤细胞凋亡率

取对数期生长的人胃癌 BGC-823 细胞, 以  $5\times 10^5/\text{ml}$  接种于培养瓶中, 每孔 2 ml, 加入适量 Leibovitz's L-15 培养液培养 24 h。待细胞贴壁后, 吸去培养液, 按上述分组药物作用 48 h 后, 收集细胞, 1500×g 离心 10 min, 弃上清, 用 4 °C 预冷的 PBS 洗涤细胞 2 次, 用重新悬浮细胞, 调整细胞密度为  $1\times 10^6/\text{ml}$ 。取 195  $\mu\text{l}$  细胞悬液于 5 ml 流式管中, 加入 5  $\mu\text{l}$  Annexin V-FITC, 轻轻混匀后间隔 3 min, 再加入 10  $\mu\text{l}$  或 20  $\mu\text{g}/\text{ml}$  的 PI 溶液, 混匀后于室温避光孵育 10 min, 加入 300  $\mu\text{l}$  结合缓冲液, 轻轻混匀, 用流式细胞仪测定细胞凋亡率。实验重复 3 次。

### 1.5 Transwell 实验检测胃癌 BGC-823 细胞的侵袭能力

将 Matrigel 与 L-15 培养基按 1:4 稀释, 在 Transwell 上室中加入 40  $\mu\text{l}$  的 Matrigel 稀释液, 37 °C 中孵育 12 h, 使胶凝固。按上述分组药物作用 48 h 后, 各组 BGC-823 细胞用含 0.1% BSA 的无血清培养基重新悬浮, 调整细胞密度为  $2\times 10^5/\text{ml}$ 。取 100  $\mu\text{l}$  细胞加入上室, 500  $\mu\text{l}$  含血清培养基加入下室, 每组设 3 个复孔, 于  $\text{CO}_2$  孵箱培养 48 h 后, 取出小室, 用棉签沾取 PBS 轻轻擦掉上膜细胞, 小室以甲醇固定 15 min, PBS 洗涤 3 次, 每次 5 min; 结晶紫染色 15 min, PBS 洗涤 3 次, 每次 5 min 后镜下观察, 每个滤膜随机取 5 个视野( $\times 100$ ), 取均值计数, 照相分析。实验重复 3 次。

### 1.6 Western blotting 检测 BGC-823 细胞相关蛋白的表达

按上述分组药物作用 48 h 后, 收集各组细胞以冷, PBS 清洗 2 次, 以裂解缓冲液提取总蛋白, 蛋白浓度参照 BCA 试剂盒测定。SDS-聚丙烯酰胺凝胶电泳

(SDS-PAGE)分离。通过电转仪将凝胶上的蛋白样品移至PVDF膜上,5%脱脂奶粉在37℃封闭2 h。分别与1:500鼠抗人CaM单克隆抗体、1:1 000鼠抗人AKT单克隆抗体。TBST洗膜3次,每次10 min,后加入辣根过氧化物酶(HRP)标记的山羊抗鼠IgG(1:200)及山羊抗兔IgG(1:200),4℃孵育2 h。洗膜3次后用化学发光底物显影,凝胶成像。

### 1.7 统计学处理

采用SPSS 13.0统计学软件,计数资料以百分率(%)表示,组间比较采用 $\chi^2$ 检验;计量资料以 $\bar{x}\pm s$ 表示,组间比较采用t检验,多组间比较采用单因素方差分析。以 $P<0.05$ 或 $P<0.01$ 表示差异有统计学意义。

## 2 结 果

### 2.1 IGF-1能提高BGC-823细胞p-AKT及CaM蛋白表达水平

在胃癌BGC-823细胞中加入IGF-1分别作用0、24、48、72 h,观察其对p-AKT和CaM的蛋白表达的影响。Western blotting检测结果(图1)显示,随着作用时间的延长,p-AKT蛋白的表达水平明显提高,同时CaM蛋白的表达水平也随之提高。

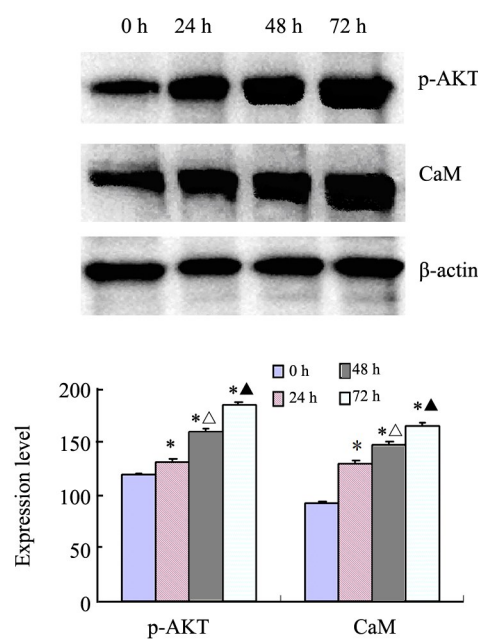


图1 IGF-1干预后胃癌BGC-823细胞内CaM和p-AKT蛋白表达水平

Fig.1 Expression of CaM and p-AKT protein in gastric cancer BGC-823 cells after IGF-1 intervention

### 2.2 IGF-1和/Rg3影响p-AKT及CaM蛋白的表达

将IGF-1和/Rg3分别作用于胃癌BGC-823细胞中48 h,Western blotting检测结果(图2)显示,与空白对照组比较,IGF-1组和IGF-1+Rg3组p-AKT和CaM蛋白的表达水平明显增强( $P<0.05$ ),而Rg3组p-AKT和CaM蛋白的表达水平均被抑制( $P<0.05$ )。表明Rg3可以抑制胃癌BGC-823细胞中CaM的表达,但当增强p-AKT的表达时Rg3的这种抑制作用被明显降低。

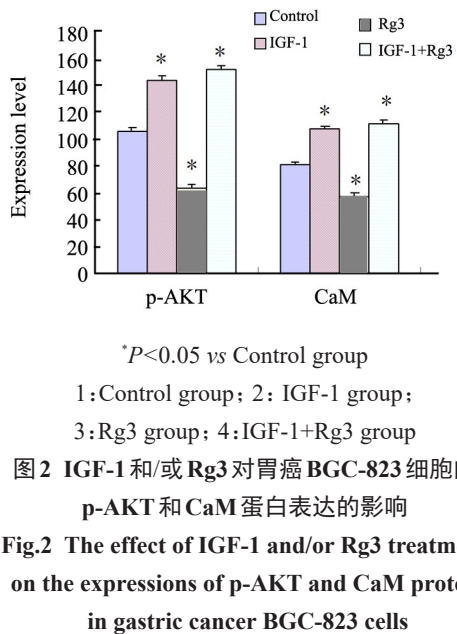
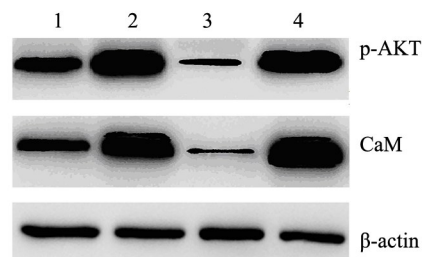


图2 IGF-1和/Rg3对胃癌BGC-823细胞内p-AKT和CaM蛋白表达的影响

Fig.2 The effect of IGF-1 and/or Rg3 treatment on the expressions of p-AKT and CaM protein in gastric cancer BGC-823 cells

### 2.3 IGF-1和/Rg3影响胃癌BGC-823细胞增殖能力

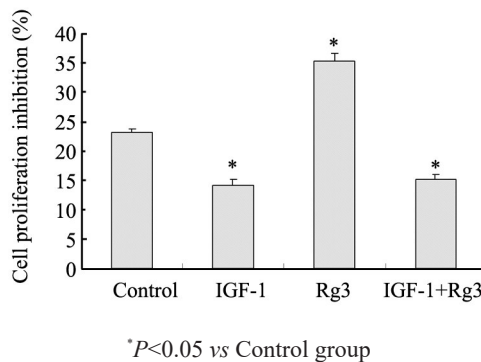
作用48 h后,MTT检测结果(见图3)显示,空白对照组细胞增殖抑制率为(23.25±1.96)%;IGF-1组细胞增殖抑制率为(14.36±1.34)%;Rg3组细胞增殖抑制率为(35.58±2.13)%;IGF-1和/Rg3组细胞增殖抑制率为(15.72±1.02)%。表明Rg3能够明显抑制胃癌BGC-823细胞增殖,但当PI3K/AKT信号通路被激活时Rg3的这种作用被明显抑制。

### 2.4 IGF-1和/Rg3影响胃癌BGC-823细胞的侵袭能力

Transwell检测结果(图4)显示,空白对照组侵袭细胞数为(53.3±2.0)个,Rg3组侵袭细胞数为(35.1±3.0)个,IGF-1组和IGF-1+Rg3组作用胃癌BGC-823细胞48 h后,侵袭细胞数分别为(89.2±



7.1)和(91.2±6.3)个。表明Rg3能够明显降低胃癌BGC-823细胞的侵袭能力,但当PI3K/AKT信号通路被激活时Rg3的这种作用被明显抑制。

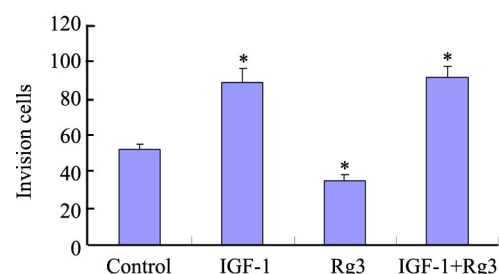


**图3 IGF-1和/Rg3对胃癌BGC-823细胞增殖能力的影响**  
**Fig.3 The effect of IGF-1 and/or Rg3 treatment on the proliferation of gastric cancer BGC-823 cells**

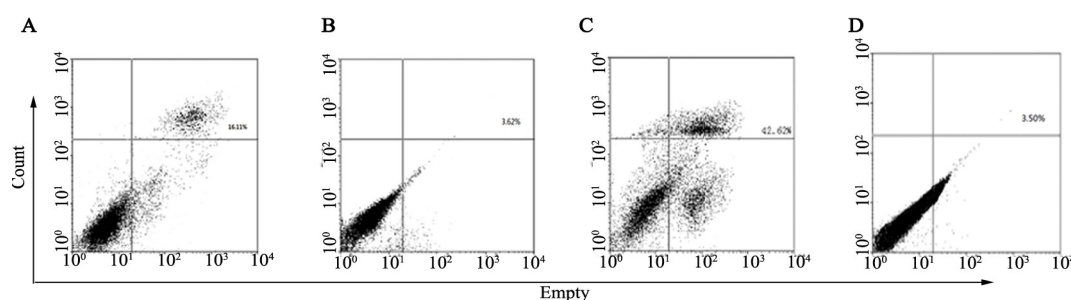
### 2.5 IGF-1和/Rg3影响胃癌BGC-823细胞的凋亡

采用Annexin V-FITC/PI双染色转染各组细胞,检测IGF-1和/Rg3诱导胃癌BGC-823细胞的凋亡情况。流式细胞术检测结果(图5)显示,Rg3组、IGF-1

组、IGF-1+Rg3组和空白对照组细胞凋亡率分别为(42.62±4.15)%、(3.62±0.25)%、(3.50±0.31)%和(16.11±1.21)%。与空白对照组比较,IGF-1组和IGF-1+Rg3组明显抑制细胞凋亡( $P<0.05$ ),而Rg3组明显促进细胞凋亡( $P<0.05$ )。表明Rg3可以明显促进胃癌BGC-823细胞凋亡,但当PI3K/AKT信号通路被激活时Rg3的这种作用被明显抑制。



**图4 IGF-1和/Rg3对胃癌BGC-823细胞侵袭能力的影响**  
**Fig.4 The effect of IGF-1 and/or Rg3 treatment on the invasiveness of gastric cancer BGC-823 cells**



**图5 IGF-1和/Rg3对胃癌BGC-823细胞凋亡的影响**  
**Fig.5 The effect of IGF-1 and/or Rg3 treatment on the apoptosis of gastric cancer BGC-823 cells**

### 3 讨论

人参皂甙Rg3具有独特的抗肿瘤作用,备受广大学者的重视。有研究<sup>[12-13]</sup>报道,人参皂甙Rg3对多种肿瘤细胞起作用,如对乳腺癌、口腔癌细胞等具有促凋亡和抑制侵袭、转移作用,但具体机制尚不十分清楚。信号转导通路的异常改变在肿瘤细胞的发生发展中起重要的作用,其中PI3K/AKT信号通路是体内众多生长因子发挥作用的共同通路,其异常激活与体内许多癌症的发生密切相关<sup>[14]</sup>。肿瘤细胞可以在特定条件下激活PI3K/AKT信号通路,从而诱导肿瘤细胞增殖、分化,避免肿瘤细胞发生凋亡<sup>[15-16]</sup>。为

了证实在胃癌BGC-823细胞中PI3K/AKT信号通路与CaM蛋白表达之间的确存在着相互联系,本研究使用激活剂IGF-1来干扰AKT的磷酸化过程,通过Western blotting检测观察其对胃癌BGC-823细胞中p-AKT和CaM的蛋白表达的影响。研究结果发现,在IGF-1的作用下胃癌BGC-823细胞中p-AKT蛋白的表达水平被显著的增强,并且这种调控作用呈现很好的时间效应关系。表明在胃癌BGC-823细胞中PI3K/AKT信号通路可以调节CaM蛋白的表达,两者之间呈正相关。

为了进一步明确人参皂甙Rg3是否是通过PI3K/AKT信号通路来抑制CaM的表达,进而促进胃癌BGC-823细胞的凋亡,本研究通过IGF-1联合人参皂

武 Rg3 作用于胃癌 BGC-823 细胞, 观察胃癌 BGC-823 细胞中 p-AKT 和 CaM 蛋白表达的变化与胃癌 BGC-823 细胞增殖、侵袭和凋亡之间的关系。本研究结果发现, 与空白对照组相比, 人参皂武 Rg3 作用于胃癌 BGC-823 细胞后, p-AKT 和 CaM 的蛋白表达均明显被抑制, 同时胃癌 BGC-823 细胞的增殖活性明显下降、凋亡明显增加, 而 IGF-1 组和 IGF-1+Rg3 组胃癌 BGC-823 细胞内 p-AKT 和 CaM 蛋白的表达均明显增强, 同时胃癌 BGC-823 细胞的增殖活性明显增强、凋亡也明显减少。表明 Rg3 可以明显促进胃癌 BGC-823 细胞凋亡, 但当 PI3K/AKT 信号通路被激活时 Rg3 促进胃癌 BGC-823 细胞凋亡的这种作用被明显抑制。

综上所述, 人参皂武 Rg3 干扰胃癌 BGC-823 细胞内 CaM 的表达来促进胃癌 BGC-823 细胞凋亡的作用是通过影响 PI3K/AKT 信号通路活性来得以实现的。

## [参 考 文 献]

- [1] ROBBINS H L, HAGUE A. The PI3K/AKT pathway in tumors of endocrine tissues[J]. *Front Endocrinol (Lausanne)*, 2015, 6(3): 188-195. DOI:10.3389/fendo.2015.00188.
- [2] FANG W L, HUANG K H, LAN Y T, et al. Mutations in PI3K/AKT pathway genes and amplifications of PIK3CA are associated with patterns of recurrence in gastric cancers[J]. *Oncotarget*, 2016, 7(5): 6201-6220. DOI:10.18632/oncotarget.6641.
- [3] VASUDEVAN K M, BARBIE D A, DAVIES M A, et al. AKT-independent signaling downstream of oncogenic PIK3CA mutations in human cancer[J]. *Cancer Cell*, 2009, 16(1): 21-32. DOI: 10.1016/j.ccr.2009.04.012.
- [4] CHAO X, ZAO J, XIAO Y G, et al. Blocking of PI3K/AKT induces apoptosis by its effect on NF- $\kappa$ B activity in gastric carcinoma cell line SGC7901[J]. *Biomed Pharmacother*, 2010, 64(9):600-604. DOI: 10.1016/j.biopharm.2010.08.008.
- [5] CUDDAPAH V A, SONTHEIMER H. Molecular interaction and functional regulation of clc-3 by Ca<sup>2+</sup>/calmodulin-dependent protein kinase ii (camkii) in human malignant glioma[J]. *J Biol Chem*, 2010, 285(15): 11188-11196. DOI: 10.1074/jbc.M109.097675.
- [6] ZHOU T T, QUAN L L, CHENL P, et al. SP6616 as a new Kv2.1 channel inhibitor efficiently promotes B-cell survival involving both PKC/Erk1/2 and CaM/PI3K/AKT signaling pathways[J]. *Cell Death Dis*, 2016 , 7(5): e2216[2018-03-02]. <https://www.ncbi.nlm.nih.gov/pmc/articles/PMC4917657/>. DOI: 10.1038/cddis.2016.119.
- [7] ZHANG F, LI M, WU X, et al. 20(S)-ginsenoside Rg3 promotes senescence and apoptosis in gallbladder cancer cells via the p53 pathway[J]. *Drug Des Devel Ther*, 2015, 9 (44): 3969-3987. DOI: 10.2147/DDDT.S84527.
- [8] TIAN L, SHEN D, LI X, et al. Ginsenoside Rg3 inhibits epithelial-mesenchymal transition (EMT) and invasion of lung cancer by down-regulating FUT4[J]. *Oncotarget*, 2016, 7(2): 1619-1632. DOI: 10.18632/oncotarget.6451.
- [9] ZENG D, WANG J, KONG P, et al. Ginsenoside Rg3 inhibits HIF-1 and VEGF expression in patient with acute leukemia via inhibiting the activation of PI3K/AKT and ERK1/2 pathways[J]. *Int J Clin Exp Pathol*, 2014, 7(5):2172-2178.
- [10] 孙大鹏, 顾立学, 李晨光, 等. 人参皂苷 Rg3 通过人乳腺珠蛋白 A 促进乳腺癌 MDA-MB-231 细胞凋亡及其可能的机制[J]. 中国肿瘤生物治疗杂志, 2017, 24(6):615-619. DOI: 10.3872/j.issn.1007-385X.2017.06.007.
- [11] KIM B M, KIM D H, PARK J H, et al. Ginsenoside Rg3 inhibits constitutive activation of NF- $\kappa$ B signaling in human breast cancer (MDA-MB-231) cells: ERK and AKT as potential upstream targets [J]. *J Cancer Prev*, 2014, 19(1): 23-30.
- [12] LIU T, ZHAO L, ZHANG Y, et al. Ginsenoside 20(S)-Rg3 targets HIF-1 $\alpha$  to block hypoxia-induced epithelial-mesenchymal transition in ovarian cancer cells[J/OL]. *PLoS One*, 2014, (9): e103887[2017-03-02]. <https://www.ncbi.nlm.nih.gov/pmc/articles/PMC0103887/>. DOI: 10.1371/journal.pone.0103887
- [13] REN W, LIU Y H, WAN S H, et al. BMP9 inhibits proliferation and metastasis of HER2-positive SK-BR-3 breast cancer cells through ERK1/2 and PI3K/AKT pathways[J/OL]. *PLoS One*, 2014, 9(5): e96816[2018-03-02]. <https://www.ncbi.nlm.nih.gov/pmc/articles/PMC4013047/>. DOI:10.1371/journal.pone.0096816.
- [14] 赵雅琛, 孙旸, 黄素辉, 等. IL-6 经 PI3K/AKT 通路诱导卵巢癌细胞对他莫西芬耐药[J]. 中国肿瘤生物治疗杂志, 2017, 24(6): 601-607. DOI: 10.3872/j.issn.1007-385X.2017.06.005.
- [15] CHEN R Q , LIY N, RALPH B, et al. Implications of PI3K/AKT inhibition on REST protein stability and neuroendocrine phenotype acquisition in prostate cancer cells[J]. *Oncotarget*, 2017, 8(49): 84863-84876. DOI: 10.18632/oncotarget.19386.

[收稿日期] 2018-02-12

[修回日期] 2018-04-10

[本文编辑] 王映红